

Starkniederschlagshöhen und -spenden gemäß KOSTRA-DWD-2020

Rasterfeld 212166

(Zeile 212, Spalte 166)

Regenspende und Bemessungsniederschlagswerte in Abhängigkeit von Wiederkehrzeit T und Dauerstufe D

| Dauerstufe D | | Wiederkehrzeit T | | | | | | | | | | | | | | | | | |
|--------------|-----|------------------|------------|-------|------------|-------|------------|-------|------------|-------|------------|-------|------------|-------|------------|-------|------------|-------|------------|
| | | 1 a | | 2 a | | 3 a | | 5 a | | 10 a | | 20 a | | 30 a | | 50 a | | 100 a | |
| min | Std | mm | l / (s ha) | mm | l / (s ha) | mm | l / (s ha) | mm | l / (s ha) | mm | l / (s ha) | mm | l / (s ha) | mm | l / (s ha) | mm | l / (s ha) | mm | l / (s ha) |
| 5 | | 8,0 | 266,7 | 9,7 | 323,3 | 10,7 | 356,7 | 12,1 | 403,3 | 14,1 | 470,0 | 16,1 | 536,7 | 17,4 | 580,0 | 19,2 | 640,0 | 21,6 | 720,0 |
| 10 | | 10,8 | 180,0 | 13,0 | 216,7 | 14,4 | 240,0 | 16,2 | 270,0 | 18,9 | 315,0 | 21,6 | 360,0 | 23,4 | 390,0 | 25,7 | 428,3 | 29,0 | 483,3 |
| 15 | | 12,6 | 140,0 | 15,2 | 168,9 | 16,8 | 186,7 | 19,0 | 211,1 | 22,1 | 245,6 | 25,2 | 280,0 | 27,3 | 303,3 | 30,0 | 333,3 | 33,9 | 376,7 |
| 20 | | 14,0 | 116,7 | 16,9 | 140,8 | 18,7 | 155,8 | 21,1 | 175,8 | 24,5 | 204,2 | 28,1 | 234,2 | 30,4 | 253,3 | 33,4 | 278,3 | 37,8 | 315,0 |
| 30 | | 16,2 | 90,0 | 19,6 | 108,9 | 21,7 | 120,6 | 24,4 | 135,6 | 28,4 | 157,8 | 32,5 | 180,6 | 35,1 | 195,0 | 38,7 | 215,0 | 43,7 | 242,8 |
| 45 | | 18,7 | 69,3 | 22,5 | 83,3 | 25,0 | 92,6 | 28,1 | 104,1 | 32,7 | 121,1 | 37,4 | 138,5 | 40,5 | 150,0 | 44,5 | 164,8 | 50,3 | 186,3 |
| 60 | 1 | 20,6 | 57,2 | 24,9 | 69,2 | 27,6 | 76,7 | 31,0 | 86,1 | 36,1 | 100,3 | 41,3 | 114,7 | 44,7 | 124,2 | 49,1 | 136,4 | 55,5 | 154,2 |
| 90 | 1,5 | 23,6 | 43,7 | 28,6 | 53,0 | 31,6 | 58,5 | 35,6 | 65,9 | 41,4 | 76,7 | 47,4 | 87,8 | 51,3 | 95,0 | 56,4 | 104,4 | 63,7 | 118,0 |
| 120 | 2 | 26,0 | 36,1 | 31,4 | 43,6 | 34,8 | 48,3 | 39,2 | 54,4 | 45,6 | 63,3 | 52,2 | 72,5 | 56,5 | 78,5 | 62,1 | 86,3 | 70,2 | 97,5 |
| 180 | 3 | 29,8 | 27,6 | 36,0 | 33,3 | 39,9 | 36,9 | 44,9 | 41,6 | 52,2 | 48,3 | 59,7 | 55,3 | 64,6 | 59,8 | 71,1 | 65,8 | 80,3 | 74,4 |
| 240 | 4 | 32,8 | 22,8 | 39,6 | 27,5 | 43,9 | 30,5 | 49,4 | 34,3 | 57,4 | 39,9 | 65,7 | 45,6 | 71,1 | 49,4 | 78,2 | 54,3 | 88,4 | 61,4 |
| 360 | 6 | 37,5 | 17,4 | 45,3 | 21,0 | 50,2 | 23,2 | 56,5 | 26,2 | 65,7 | 30,4 | 75,2 | 34,8 | 81,3 | 37,6 | 89,5 | 41,4 | 101,1 | 46,8 |
| 540 | 9 | 42,8 | 13,2 | 51,8 | 16,0 | 57,3 | 17,7 | 64,6 | 19,9 | 75,1 | 23,2 | 85,9 | 26,5 | 93,0 | 28,7 | 102,3 | 31,6 | 115,6 | 35,7 |
| 720 | 12 | 47,1 | 10,9 | 57,0 | 13,2 | 63,0 | 14,6 | 71,0 | 16,4 | 82,6 | 19,1 | 94,5 | 21,9 | 102,3 | 23,7 | 112,5 | 26,0 | 127,1 | 29,4 |
| 1080 | 18 | 53,8 | 8,3 | 65,1 | 10,0 | 72,0 | 11,1 | 81,2 | 12,5 | 94,4 | 14,6 | 108,0 | 16,7 | 116,9 | 18,0 | 128,5 | 19,8 | 145,2 | 22,4 |
| 1440 | 24 | 59,2 | 6,9 | 71,5 | 8,3 | 79,2 | 9,2 | 89,3 | 10,3 | 103,7 | 12,0 | 118,7 | 13,7 | 128,5 | 14,9 | 141,3 | 16,4 | 159,6 | 18,5 |
| 2880 | 48 | 74,3 | 4,3 | 89,9 | 5,2 | 99,5 | 5,8 | 112,1 | 6,5 | 130,3 | 7,5 | 149,1 | 8,6 | 161,4 | 9,3 | 177,4 | 10,3 | 200,5 | 11,6 |
| 4320 | 72 | 84,9 | 3,3 | 102,7 | 4,0 | 113,7 | 4,4 | 128,1 | 4,9 | 148,9 | 5,7 | 170,3 | 6,6 | 184,4 | 7,1 | 202,7 | 7,8 | 229,1 | 8,8 |
| 5760 | 96 | 93,4 | 2,7 | 112,9 | 3,3 | 124,9 | 3,6 | 140,8 | 4,1 | 163,6 | 4,7 | 187,2 | 5,4 | 202,6 | 5,9 | 222,8 | 6,4 | 251,8 | 7,3 |
| 7200 | 120 | 100,5 | 2,3 | 121,4 | 2,8 | 134,4 | 3,1 | 151,5 | 3,5 | 176,1 | 4,1 | 201,4 | 4,7 | 218,0 | 5,0 | 239,8 | 5,6 | 271,0 | 6,3 |
| 8640 | 144 | 106,7 | 2,1 | 128,9 | 2,5 | 142,7 | 2,8 | 160,8 | 3,1 | 186,9 | 3,6 | 213,9 | 4,1 | 231,5 | 4,5 | 254,6 | 4,9 | 287,7 | 5,5 |
| 10080 | 168 | 112,2 | 1,9 | 135,6 | 2,2 | 150,1 | 2,5 | 169,2 | 2,8 | 196,7 | 3,3 | 225,0 | 3,7 | 243,5 | 4,0 | 267,8 | 4,4 | 302,6 | 5,0 |

Starkniederschlagshöhen und -spenden gemäß KOSTRA-DWD-2020

Rasterfeld 212166

(Zeile 212, Spalte 166)

Örtliche Unsicherheiten in Abhängigkeit von Wiederkehrzeit T und Dauerstufe D

| Dauerstufe D | | Wiederkehrzeit T | | | | | | | | |
|--------------|-----|------------------|-----|-----|-----|------|------|------|------|-------|
| | | 1 a | 2 a | 3 a | 5 a | 10 a | 20 a | 30 a | 50 a | 100 a |
| min | Std | ± % | ± % | ± % | ± % | ± % | ± % | ± % | ± % | ± % |
| 5 | | 24 | 25 | 25 | 26 | 26 | 26 | 27 | 27 | 27 |
| 10 | | 28 | 29 | 29 | 29 | 30 | 30 | 30 | 30 | 31 |
| 15 | | 29 | 30 | 30 | 30 | 31 | 31 | 31 | 32 | 32 |
| 20 | | 29 | 30 | 30 | 31 | 31 | 31 | 32 | 32 | 32 |
| 30 | | 29 | 29 | 30 | 30 | 31 | 31 | 31 | 32 | 32 |
| 45 | | 28 | 29 | 29 | 29 | 30 | 30 | 30 | 31 | 31 |
| 60 | 1 | 27 | 28 | 28 | 28 | 29 | 29 | 29 | 30 | 30 |
| 90 | 1,5 | 25 | 26 | 26 | 27 | 27 | 28 | 28 | 28 | 28 |
| 120 | 2 | 24 | 25 | 25 | 26 | 26 | 26 | 27 | 27 | 27 |
| 180 | 3 | 22 | 23 | 23 | 24 | 24 | 25 | 25 | 25 | 25 |
| 240 | 4 | 21 | 22 | 22 | 22 | 23 | 23 | 24 | 24 | 24 |
| 360 | 6 | 19 | 20 | 20 | 21 | 21 | 21 | 22 | 22 | 22 |
| 540 | 9 | 18 | 18 | 18 | 19 | 19 | 20 | 20 | 20 | 20 |
| 720 | 12 | 17 | 17 | 17 | 18 | 18 | 19 | 19 | 19 | 19 |
| 1080 | 18 | 15 | 16 | 16 | 16 | 17 | 17 | 17 | 18 | 18 |
| 1440 | 24 | 15 | 15 | 15 | 16 | 16 | 16 | 17 | 17 | 17 |
| 2880 | 48 | 14 | 14 | 14 | 14 | 15 | 15 | 15 | 15 | 16 |
| 4320 | 72 | 15 | 14 | 14 | 15 | 15 | 15 | 15 | 15 | 15 |
| 5760 | 96 | 15 | 15 | 15 | 15 | 15 | 15 | 15 | 15 | 16 |
| 7200 | 120 | 16 | 15 | 15 | 15 | 16 | 16 | 16 | 16 | 16 |
| 8640 | 144 | 16 | 16 | 16 | 16 | 16 | 16 | 16 | 16 | 16 |
| 10080 | 168 | 17 | 17 | 17 | 17 | 16 | 17 | 17 | 17 | 17 |

Parameter für abweichende T und D

Lokationsparameter ξ (Xi)

20,86440093

Skalenparameter α (Alpha)

6,05709304

Formparameter κ (Kappa)

-0,1

1. Koutsoyiannis-Parameter θ (Theta)

0,01913602

2. Koutsoyiannis-Parameter η (Eta)

0,67156254

Parameter für dauerstufenübergreifende Extremwertschätzung nach KOUTSOYIANNIS et al. 1998.

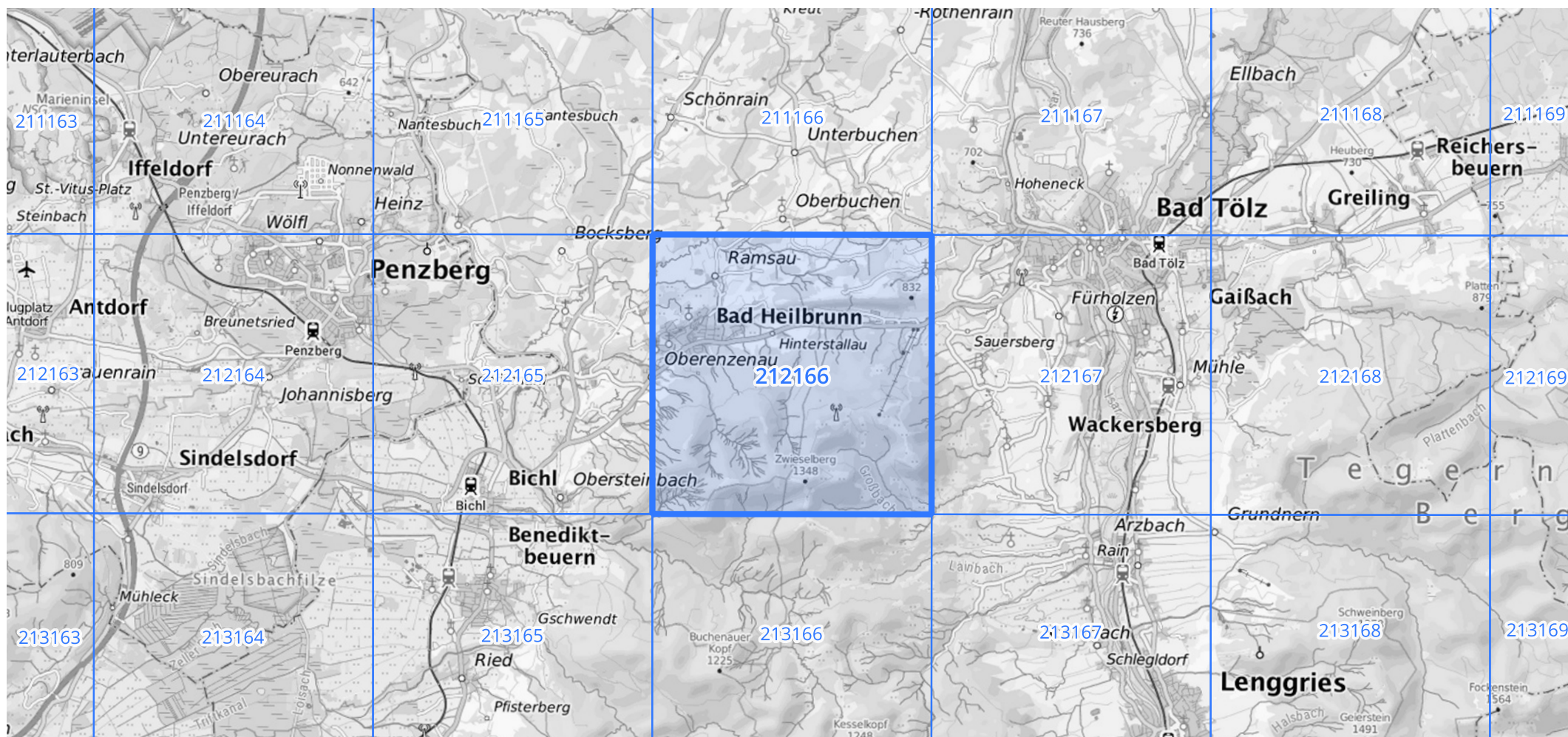
Siehe auch Anwendungshilfe zu KOSTRA-DWD-2020 des Deutschen Wetterdienstes.

Starkniederschlagshöhen und -spenden gemäß KOSTRA-DWD-2020

Rasterfeld 212166

(Zeile 212, Spalte 166)

Übersichtskarte des Rasterfeldes 212166, M 1 : 100 000



Quelle Rasterdaten: KOSTRA-DWD-2020 des Deutschen Wetterdienstes, Stand 12/2022.

Seite 3 von 3

Kartendarstellung: © Bundesamt für Kartographie und Geodäsie (2023), Datenquellen: https://sgx.geodatenzentrum.de/web_public/gdz/datenquellen/Datenquellen_TopPlusOpen.html

Für die Richtigkeit und Aktualität der Angaben wird keine Gewähr übernommen. Erstellt 01/2023.